

関東学院大学 正口北野義則
九州大学 正栗谷陽一

1. まえがき

有限幅をもつ2次元気泡噴流について、今まで検討を行なってきましたが、それによると、流速は0より始まり浮力により加速され、送気量に対応するある一定値に近づく。気泡噴流幅について、流速の加速により一時、拡がり幅は減少するが、その後徐々に近づくことが知れた。円板散気装置からの気泡噴流について同様流速は0より始まり、浮力により加速され最大流速に達した後流速は0に漸近していくものと思われる。この報告は、円板散気装置からの気泡噴流について実験的・理論的に検討を行なったものである。

2. 実験

4m × 1m × 0.6m の全面アクリル製の水槽を用い、水槽底部に直径3cm, 6cmの円板散気装置の一方を据えた。エアコンプレッサーより流量計を通して、散気装置から送気した。散気頭上10, 20, 30, 40, 50cm のそれぞれの高さで、横方向に1cmずつに流速、気泡密度を測定した。送気量はこのあたりの散気装置に付けて3通り存在した。実験結果の一例を図2, 3に示す。

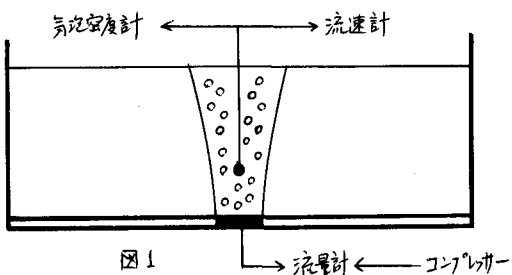


図1

実験結果の流速分布、気泡密度

分布とも誤差分布曲線によく一致している。一般に気泡密度が上昇とともに減少するとは明らかであるが、流速については、どの変化かわざかであった。

3. 考察

気泡噴流の基礎式は次の3つの式である。 u , v は流速、 σ は気泡密度、 l は混合距離、 w は気泡の相対上昇速度である。

連続の式

$$\frac{\partial u}{\partial x} + \frac{\partial v}{\partial y} = 0 \quad (1)$$

図2



N-S式

気泡の保存式

$$u \frac{\partial u}{\partial x} + v \frac{\partial u}{\partial y} = \sigma g + \frac{1}{r} \frac{\partial}{\partial r} (r l^2 \frac{\partial u}{\partial r} \frac{\partial u}{\partial r}) \quad , \quad (u+w) \frac{\partial \sigma}{\partial x} + v \frac{\partial \sigma}{\partial y} = \frac{1}{r} \frac{\partial}{\partial r} (r l^2 \frac{\partial \sigma}{\partial r} \frac{\partial \sigma}{\partial r}) \quad (2)$$

図3



流速分布 $u = U_0 e^{-r^2/b^2}$, 気泡密度分布 $\sigma = \sigma_0 e^{-r^2/a^2}$ の誤差分布と仮定し、混合距離 l は噴流幅 b に比例するとして $l = eb$ 。これらを用いて(2), (3)に代入し、1次および3次モーメントをとる。

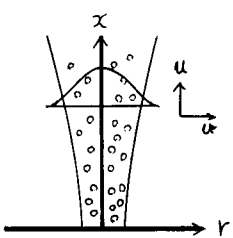


図4

$$u_0/w = U, \quad \varepsilon^2 x/L = X, \quad b/L = B, \quad a/L = A \\ \sigma \cdot g L / w^2 \varepsilon^2 = S, \quad g \cdot g / L w^3 \varepsilon^2 = Q$$

} (4)

(4)で無次元表示すると次の結果が得られる。

$$\frac{1}{2} \frac{d}{dx} (U^2 B^2) = A^2 S, \quad \frac{d}{dx} \left\{ A^2 S \left(1 + \frac{B^2}{A^2 + B^2} U \right) \right\} = 0 \quad (5)$$

$$\frac{1}{2} U B^4 \frac{dU}{dx} + \frac{3}{4} U^2 B^3 \frac{dB}{dx} = \frac{1}{2} S A^4 + \frac{3\sqrt{\pi}}{8} U^2 B^3, \quad (7)$$

$$\frac{1}{2} \frac{AB^2(2B^2+A^2)}{(A^2+B^2)^2} S \frac{dU}{dx} + \frac{A^2B(3B^2+A^2)}{(A^2+B^2)^3} S U \frac{dB}{dx} + 2 \left\{ 1 + \frac{B^6}{(A^2+B^2)^3} U \right\} S \frac{dA}{dx} + \frac{1}{2} \left\{ 1 + \frac{B^6}{(A^2+B^2)^2} U \right\} A \frac{dS}{dx}$$

$$= 3\sqrt{\pi} \frac{B^5}{(A^2+B^2)^2} S U \quad (8)$$

散気装置が有限幅をもつときは $X=0$ すなはち $U=0$ から $X=0$ の近傍の解を次へベキ級数におく。

$$U = U_1 X^k + U_2 X^m, \quad m > k > 0, \quad B = B_0 + B_1 X^l, \quad l > 0, \quad A = A_0 + A_1 X^j, \quad j > 0, \quad S = S_0 + S_1 X^r, \quad r > 0$$

これを各モーティト式に代入すると、 $k=j=k=\frac{1}{2}$, $m=1$ を得る。したがって各係数は次の様になる。 $B_0=A_0$, $U_1=\sqrt{Q/\pi A_0^2}$, $S_0=Q/\pi A_0^2$

$A_1=-A_0 U_1/8$, $B_1=8S_0 A_1/5U_1^2$ となる。計算で $X=0$ で $A=1$ と $1/2$ ととの一般性は失なわれない。

図5に流速分布の計算結果を示す。流速は始め、0より出発し、気泡の浮力により加速されると、その後次第に減速する。実験結果の送気量少では、減少傾向がそれほど現れていらないが、送気量が多くなるにつれて実験結果もその傾向を示していくようである。

図6～図8はそれぞれの送気量に対して流速分布幅、気泡密度分布幅の変化を示したものである。流速分布幅については各送気量とも、かなり一致の傾向を示していくようである。

気泡密度分布については、散気板直徑3cmの場合計算結果より実験値は大まかに現れていますのが特徴的である。簡単のために、運動量と気泡の拡散係数を等しいとしていたとき、又気泡自身の拡散については考慮しないことなどが考えられる。

また $\varepsilon=0.2$ と 1 で図示した。
 $L=7.112$ は、初期に気泡は相対上昇速度だけ上昇するので、円筒分布を仮定し、そこから誤差分布に変換すると $L=\frac{1}{2\sqrt{2}} U_0 (L_0: 散気板直徑)$ が得られるので、これを用いた。

参考文献

「沉降性粒子を含む管直噴流の特性」土木学会論文集
栗谷陽一、前崎一裕

